



سنجش از دور

GIS ایران



سنجش از دور و GIS ایران سال دوازدهم، شماره سوم، پاییز ۱۳۹۹ Vol.12, No. 3, Autumn 2020 Iranian Remote Sensing & GIS

۲۲-۳۴

مقاله پژوهشی

## بررسی عملکرد الگوریتم‌های تخمین غلظت گاز گلخانه‌ای $\text{CO}_2$ براساس داده‌های ماهواره گوست (GOSAT) و ایستگاه‌های زمینی

سمیرا کرباسی<sup>۱</sup>، حسین ملکوتی<sup>۲\*</sup>، مهدی رهنما<sup>۳</sup>، مجید آزادی<sup>۴</sup>

۱. دانشجوی دکتری هواشناسی، دانشکده علوم و فنون دریابی، دانشگاه هرمزگان

۲. دانشیار گروه علوم غیرزیستی جویی و اقیانوسی، دانشکده علوم و فنون دریابی، دانشگاه هرمزگان

۳. دانشیار سنجش از راه دور، گروه کاوش‌های جویی، پژوهشکده هواشناسی

۴. دانشیار گروه پژوهشی هوافضای سینوپتیکی و دینامیکی، پژوهشکده هواشناسی

تاریخ پذیرش مقاله: ۱۳۹۹/۰۲/۲۲

تاریخ دریافت مقاله: ۱۳۹۸/۱۰/۱۴

### چکیده

افزایش سطح غلظت گازهای گلخانه‌ای و به تبع آن، گرم شدن کره زمین و تغییرات آب و هوایی یکی از مهم‌ترین چالش‌های قرن بیست و یکم شناخته شده است. این پژوهش عملکرد الگوریتم‌های موجود در بازیابی غلظت گازهای گلخانه‌ای دریابی از دی‌اکسید کربن را، براساس داده‌های مشاهداتی ماهواره نظریت بر گازهای گلخانه‌ای گوست (GOSAT)، در مقایسه با داده‌های مرجع بدست آمده از شبکه سطحی (TCCON)، در هشت سایت منتخب در دوره زمانی ۲۰۱۱-۲۰۱۵ می‌بررسی می‌کند. الگوریتم‌های مورد ارزیابی عبارت‌اند از الگوریتم NIES، ACOS و SRFP (RemoTeC). این الگوریتم‌ها بر بازیابی فراوانی ستونی از گازهای مورد نظر متوجه شده‌اند تا از مقادیر مولکولی هوا خشک اتم دی‌اکسید کربن ( $\text{CO}_2$ ) بپردازند. برای ارزیابی محصولات هر الگوریتم با مقدار معادل مشاهداتی زمینی آن، از شاخص‌های آماری اریبی (Bias)، جذر میانگین مربع خطای (RMSE)، خطای مطلق (MAE)، انحراف معیار (SD) و ضریب همبستگی پی‌برسون (CR) در هر ایستگاه استفاده شده است. نتایج بررسی مقادیر داده‌شده نشان می‌دهد که، در بیشتر ایستگاه‌های زمینی مورد نظر، به ترتیب الگوریتم‌های NIES، ACOS، SRFP، RemoTeC، کمترین خطای RMSE، MAE و کمترین خطای اریبی بوده‌اند. همچنان، کمترین مقادیر همبستگی (بین هر الگوریتم و شبکه سطحی) متعلق به الگوریتم (SRFP) و بیشترین مقادیر آن، در مورد بیشتر ایستگاه‌ها، متعلق به الگوریتم NIES در یک میانگین پنج ساله (۲۰۱۱-۲۰۱۵) است.

کلیدواژه‌ها: ماهواره گوست، دی‌اکسید کربن ( $\text{CO}_2$ )، گازهای گلخانه‌ای، الگوریتم بازیابی.

\* نویسنده مکاتبه کننده: هرمزگان، بندرعباس، کیلومتر پنج جاده میناب، دانشگاه هرمزگان، دانشکده علوم و فنون دریابی، گروه علوم غیرزیستی جویی و اقیانوسی.

تلفن: ۰۷۶-۳۳۷۱۱۰۰۰-۱۱

## ۱- مقدمه

بیست و سوم زانویه ۲۰۰۹ در مدار قرار گرفته، مشاهدات طیفی بسیاری با وضوح بالا، انعکاس یافته از نور خورشید، به دست مؤسسه ملی مطالعات زیست محیطی (NIES)<sup>۱</sup> تهیه شده و موجود است. الگوریتم هایی در گروه های گوناگون، در سراسر جهان، برای پردازش داده های گوست وجود دارد که توزیع های جهانی و زمانی مقادیر گازهای گلخانه ای را بازیابی سیستماتیک می کند. این الگوریتم ها بر بازیابی فراوانی ستونی از گازهای مورد نظر مرکز شده اند تا از مقادیر مولکولی هوا خشک اتم دی اکسید کربن ( $\text{XCO}_2$ ) بهمراه متان ( $\text{XCH}_4$ ) بهره بگیرند. تیم های تحقیقاتی ACOS<sup>۲</sup> و RemoTeC<sup>۳</sup>، NIES<sup>۴</sup>، Yoshida et al., 2011a؛ O'Dell et al., 2012؛ Crisp et al., 2011 به ترتیب، در برخی مقالات ( ) شرح داده شده است. الگوریتم مربوط به مؤسسه تحقیقات فضایی هلند و مؤسسه تکنولوژی کارلسروهه (کیت)، و Butz et al., 2010-2009)، تشریح شده است. تفاوت الگوریتم های موجود در بازیابی گازهای مورد نظر، با استفاده از داده های ماهواره گوست، در استفاده از روش های پایه ای متفاوت، مدل های آیروسول و ابر و پیش فرض های اولیه برای کاهش آثار برآکندگی و تولید محصولات با خطای کمتر است.

امروزه پرداختن به میزان افزایش غلظت گازهای گلخانه ای از سوی مجتمع بین المللی، به عنوان نقش کلیدی این گازها در تغییر اقلیم، به خصوص فرایند گرمایش جهانی، بسیار مهم تلقی می شود و تعیین منابع گسیل و جذب این گازها و تعیین روند تغییرات گذشته، حال و آینده آنها اهمیت فراوانی دارد.

برای این منظور، به اندازه گیری های توزیع جهانی از غلظت دی اکسید کربن و متان جوی، با دقت و صحت بالا، نیاز است. معمولاً دی اکسید کربن ( $\text{CO}_2$ ) و متان ( $\text{CH}_4$ ) با استفاده از نمونه گیری های به دست آمده از شبکه های سطحی و یا کشتی ها، هواپیماها و بالون ها سنجیده می شود.

اندازه گیری و به دست آوردن توزیع جهانی منابع گسیل کربن، به دلیل تعداد اندک ایستگاه های مشاهداتی زمینی گازهای گلخانه ای و توزیع پراکنده آنها در سطح کره زمین، مشکل است. مشکل دیگر دستیابی مؤثر به توزیع جهانی دی اکسید کربن و متان با تفکیک فضایی و زمانی بالاست که از دیرباز وجود داشته است.

در این زمینه، توجه بیشتری به کاربرد مشاهدات سنجش از دور در تخمین جریان های  $\text{CO}_2$  و  $\text{CH}_4$  اختصاص یافته است. به ویژه، افزایش قدرت تفکیک فضایی و دقت اندازه گیری ابزارهای ماهواره ای سنجش از دور را به ابزار عملی برای نظارت بر انتشار  $\text{CO}_2$  و  $\text{CH}_4$  در مقیاس های منطقه ای تبدیل می کند؛ بنابراین، در کمتر از ۵ کیلومتر در جو زمین می شود افزایش غلظت این دو گاز در جو زمین می یابد. در حال حاضر، ماهواره گوست (GOSAT)<sup>۱</sup> تنها ماهواره ای است که همزمان گازهای گلخانه ای متان و دی اکسید کربن را اندازه می گیرد و دقت اندازه گیری آن کمتر از یک درصد است (Yoshida et al., 2011). با راه اندازی ماهواره پاییش گازهای گلخانه ای گوست که از

- 
1. Greenhouse Gases Observing Satellite
  2. National Institute for Environmental Studies
  3. Atmospheric CO<sub>2</sub> Observations from Space
  4. Remote sensing of greenhouse gases for carbon cycle modeling by the Netherlands Institute for Space Research the Karlsruhe Institute of Technology (KIT)

## ۲- داده‌ها

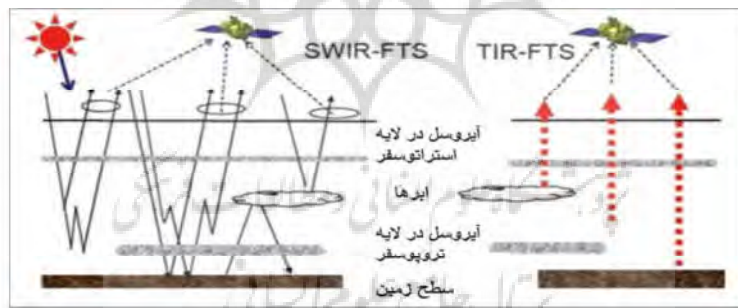
### ۱-۱- ماهواره گوست

ماهواره مشاهداتی گازهای گلخانه‌ای گوست (ابیوکی)<sup>۳</sup> را آژانس فضایی ژاپن در بیست و سوم زانویه ۲۰۰۹ را اندازی کرد (Kuze et al., 2009) و نخستین ماهواره در جهان است که غلظت  $\text{CO}_2$  و  $\text{CH}_4$  را از فضای اتمسفر می‌سنجد. این ماهواره، هر سه روز یکبار، اندازه‌گیری کل ستون  $\text{CO}_2$  و  $\text{CH}_4$  را، در محدوده طول موج SWIR، با پوشش جهانی فراهم می‌کند. پروژه گوست حاصل تلاش مشترک وزارت محیط‌زیست (MOE)<sup>۴</sup> و مؤسسه ملی مطالعات زیست‌محیطی و آژانس اکتشافات فضایی ژاپن (JAXA)<sup>۵</sup> محسوب می‌شود. این ماهواره به دو دستگاه مجهرز است:

- ۱- سنسور حرارتی و فوتوسرخ برای مشاهدات کربن که مجهرز به طیف‌سنج فوریه (TANSO-FTS)<sup>۶</sup> است و
- ۲- سیستم تصویربرداری ابر و آبروسل (TANSO-CAI)<sup>۷</sup> (شکل ۱).

یکی از مهم‌ترین راههای اعتبارسنجی در بازیابی محصولات ماهواره گوست استفاده از اندازه‌گیری‌های اسپکترومتر تبدیل فوریه با وضوح بالا (FTS)<sup>۸</sup> شبکه مشاهداتی کل ستون کربن (TCCON)<sup>۹</sup> است (Washenfelder et al., 2006; Wunch et al., 2010) مطالعات متعددی در زمینه مقایسه محصولات الگوریتم‌های متفاوت، برای بازیابی گازهای آلینده از مشاهدات ماهواره گوست، انجام شده است (Butz et al., 2010; Parker et al., 2011; Cogan et al., 2012; Oshchepkov et al., 2012). طی مقایسه‌های آماری در دوره‌های متفاوت زمانی، بیشتر مطالعات نتایج دلگرم‌کننده‌ای مبنی بر سازگاری بالای مشاهدات ماهواره گوست با مقادیر TCCON نشان داده‌اند.

در این مقاله، تحلیلی مقایسه‌ای بین سه الگوریتم NIES، RemoTeC و ACOS براساس مشاهدات ماهواره گوست، با استفاده از پارامترهای آماری طی یک دوره زمانی شصتماهه (۲۰۱۱-۲۰۱۵) در هشت ایستگاه اندازه‌گیری شبکه سطحی (TCCON)، صورت می‌گیرد.



شکل ۱. انتقال‌های تابشی SWIR-TIR در جو زمین  
منبع: <https://earth.esa.int/web/eoportal/satellite-missions/g/gosat>

1. Ground-based high-resolution Fourier transform spectrometer
2. Total Carbon Column Observing Network
3. IBUKI
4. Ministry of Environment
5. Japan Aerospace exploration Agency
6. Thermal and Near-infrared Sensor for carbon Observations Fourier Transform Spectrometer
7. Thermal and Near-infrared Sensor for carbon Observations Cloud and Aerosol Imager

### ۳-۲- حوزه محاسباتی و داده‌های مورد استفاده ۱-۳- داده‌های ایستگاه‌های زمینی

در این مطالعه، برای بررسی کیفیت عملکرد الگوریتم‌های NIES موجود در منطقه، از داده‌های سه الگوریتم ACOS و RemoTeC استفاده شده که از مشاهدات ماهواره‌گوست طی دوره زمانی شصت‌ماهه‌ای (۲۰۱۵-۲۰۱۱)، در هشت ایستگاه اندازه‌گیری شبکه سطحی TCCON، به دست آمده است. ایستگاه‌های زمینی مورد نظر بین عرض‌های جغرافیایی  $0^{\circ}$  و  $70^{\circ}$  درجه شمالی و طول جغرافیایی  $170^{\circ}$  و  $120^{\circ}$  درجه، به ترتیب، شرقی و غربی در نظر گرفته شده است (شکل ۲). فهرست سایت‌های منتخب مورد استفاده در منطقه در جدول ۱ آمده است. ایستگاه‌ها شامل ایستگاه گارمیش و کارلسروهه (آلمان)، ایزانیا (اسپانیا)، اورلئان (فرانسه)، پارک فالز و لامونت (آمریکا)، تسوکوبا و سگا (ژاپن) می‌شوند.

### ۲-۳-۲- داده‌های حاصل از ماهواره‌گوست

در این مطالعه، برای اعتبارسنجی محصول داده‌های الگوریتم بازیابی گوناگون (SWIR L2)، در برابر مقادیر مشاهدات زمینی TCCON-XCO<sub>2</sub>، از محصولات بازیابی NIES-XCO<sub>2</sub>، نسخه V02.72 استفاده شده و مجموعه این داده‌ها، از داده‌های دریافت‌شده با سنسور TANSO-FTS، منتشر شده است. مجموعه داده‌های الگوریتم SRFP با توجه به داده‌های ستونی، V8.3.2 فیزیک کامل CO<sub>2</sub> فراهم شده که از طریق نسخه CO<sub>2</sub>\_GOS\_SRFP (RemoTeC) (CO<sub>2</sub>\_GOS\_SRFP) الگوریتم مخصوص انتستیوی تحقیقات فضایی هلند (SRON) و مؤسسه فناوری کارلسروهه (KIT)، تهیه شده است.

- 
1. Park falls, WI, USA
  2. SRFP (the proxy and full-physics ... SRON/KIT's RemoTec algorithm)

ابزار TANSO-FTS شامل چهار نوار طیفی با رزولوشن طیفی بالا ( $0.2^{\circ}$  بر سانتی‌متر) است که سه نوار طیفی آن در محدوده SWIR، در طول موج‌های حدود  $0.76\text{, }1.6\text{ و }2.0$  میکرومتر، عمل می‌کند و حساسیت آنها به جذب نزدیک سطح است. نوار چهارم حرارتی فروسرخ بین  $5.5$  و  $14.3$  میلی‌متر است که در برابر ناحیه تریبوسفیریک حساس است.

استراتژی اندازه‌گیری TANSO-FTS براساس مشخص کردن منابع گسیل در مقیاس قاره‌ای بهینه‌سازی شده است. این اندازه‌گیری‌ها، در اصل، شامل پنج نقطه عمود بر مسیر حرکت می‌شود که با فاصله حدود یکصد کیلومتر از هم قرار دارند و با قطر  $10.5$  کیلومتر و مدت زمان چهار ثانیه از هم قرار گرفته‌اند (Parker et al., 2011).

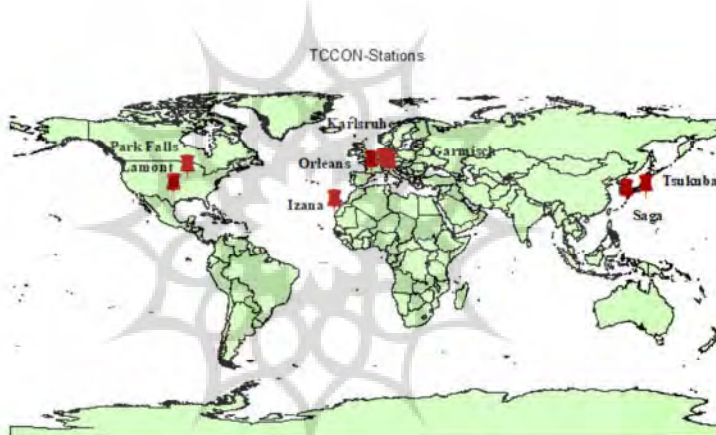
### ۲-۲- شبکه مشاهداتی کل ستون کربن (TCCON)

TCCON شبکه‌ای جهانی از طیفسنجی تبدیل فوریه با وضوح بالای ضبط مستقیم طیف خورشیدی مستقیم Wunch et al., (2010). عمر این مرکز پایش گازهای گلخانه‌ای بیش از یک دهه است و نخستین ابزار اختصاصی آن، واقع در شهرهای پارک فالز<sup>۱</sup>، در ماه مه  $2004^{\circ}$  نصب شد. ایستگاه‌های این مرکز پایش گازهای گلخانه‌ای تا کنون به  $23$  سایت عملیاتی در دنیا گسترش یافته است (Parker et al., 2011). اهداف کلی آن شامل بهبود درک چرخه کربن و اعتبارسنجی بازیابی ماهواره‌ها با ارائه مشاهدات دقیق از مقادیر XCO<sub>2</sub> و XCH<sub>4</sub> برای تعدادی از نقاط است. میزان فقدان اطمینان در مورد مقادیر XCO<sub>2</sub> و XCH<sub>4</sub> حاصل از TCCON، در مقایسه با بسیاری از پروفایل‌های هواپیمایی گوناگون، طی بیست اندازه‌گیری، به اندازه  $0.8 \text{ ppm}$  و  $4 \text{ ppb}$  است (Wunch et al., 2010).

جدول ۱. سایت‌های منتخب TCCON

نام سایت (Site Name)	مکان سایت (Site Location)	مختصات جغرافیایی (Lon, Lat, Alt-km)	تاریخ شروع ثبت داده (Start Date)
کارلسروهه (Karlsruhe)	آلمان	49.1°N, 8.44°E 0.11	۲۰۱۰/۰۴/۱۹
گارمیش (Garmisch)	آلمان	47.97°N, 2.11°E 0.13	۲۰۰۷/۰۷/۰۶
ایزانیا (Izana)	اسپانیا	47.48°N, 11.06°E 0.75	۲۰۰۷/۰۵/۱۸
اورلکان (Orleans)	فرانسه	45.94°N, 90.27°W 0.45	۲۰۰۹/۰۸/۲۹
لامونت (Lamont)	آمریکا	36.6°N, 97.49°W 0.32	۲۰۰۸/۰۷/۰۶
پارفالز (Park Falls)	آمریکا	36.05°N, 140.12°E 0.03	۲۰۰۴/۰۵/۲۶
تسوکوبا (Tsukuba)	ژاپن	33.24°N, 130.29°E 0.01	۲۰۰۱/۰۸/۰۴
سگا (Saga)	ژاپن	28.3°N, 16.48°W 2.37	۲۰۱۱/۰۷/۲۸

منبع: (Wunch et al,2010-a ,GGG2014)



شکل ۲. ایستگاه‌های منتخب شبکه مشاهداتی کل ستون کربن (TCCON)

(شکل ۳). بازه زمانی مورد مطالعه سال‌های ۲۰۱۱ تا ۲۰۱۵ است در این مطالعه، برای بیان قابلیت‌های گوناگون هریک از الگوریتم‌ها در برآورد غلظت گاز  $\text{CO}_2$  اکسید کربن، از شاخص‌های آماری اریبی (Bias)، جذر میانگین مربع خطای (RMSE)<sup>۱</sup>، خطای مطلق (MAE)<sup>۲</sup>، انحراف معیار (SD)<sup>۳</sup> و ضریب همبستگی پی‌یرسون (CR)<sup>۴</sup> استفاده شده است (معادلات ۱ تا ۵).

برای گردآوری مجموعه داده‌های L2 SWIR نیز، از مجموعه داده‌های ACOS GOSAT، از نسخه- ACOS FTS TANSO-Surface (V3.7) استفاده شده است.

### ۳- روش کار

در این مرحله، کیفیت عملکرد الگوریتم‌های NIES و SRFP طی تولید داده‌های سطح ۲ ماهواره گوست، در بازیابی  $\text{XCO}_2$  از مشاهدات این ماهواره، در مقابله با مشاهدات این ماهواره، در TCCON ایستگاه‌های شبکه سطحی ایستگاه‌های ذکر شده در جدول ۱ بررسی می‌شود

1. Root Mean Square Error
2. Mean Absolute Error
3. Standard Deviation
4. Pearson's correlation coefficient

$$\text{Bias} = (XCO2_{\text{satellite}} - XCO2_{\text{TCCON}}) \quad \text{رابطه (۱)}$$

$$\text{RMSE} = \sqrt{\frac{1}{n} \sum_{i=1}^n (XCO2_{(\text{satellite})i} - XCO2_{(\text{TCCON})i})^2} \quad \text{رابطه (۲)}$$

$$\text{MAE} = \frac{1}{n} \sum_{i=1}^n |XCO2_{(\text{satellite})i} - XCO2_{(\text{TCCON})i}| \quad \text{رابطه (۳)}$$

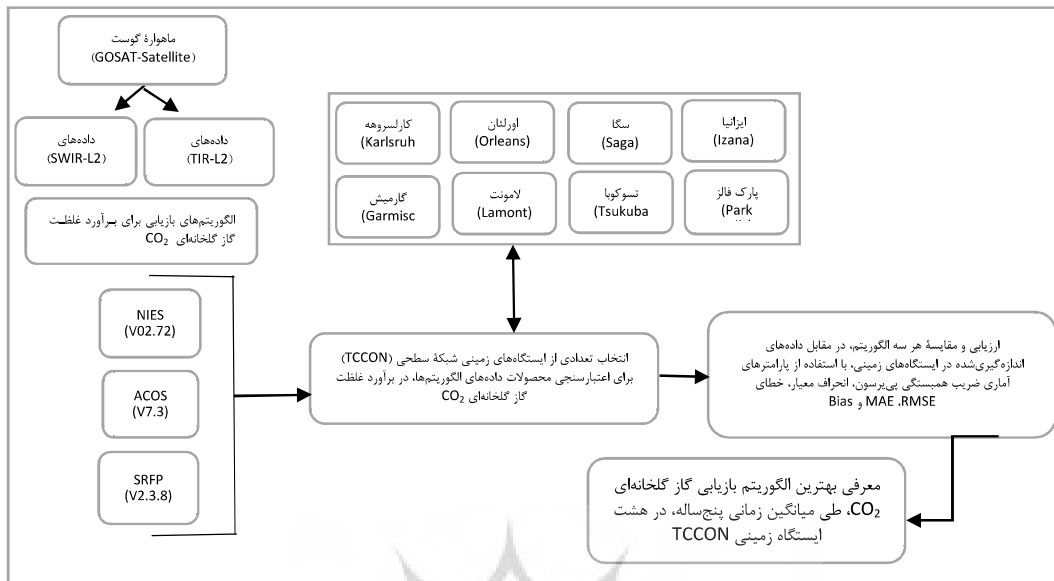
$$\text{SD} = \sqrt{\frac{\sum_{i=1}^n (XCO2_{(\text{satellite})i} - \bar{XCO2}_{(\text{satellite})})^2}{N}} \quad \text{رابطه (۴)}$$

$$R_{\text{satellite, TCCON}} = \frac{\sum_{i=1}^n (XCO2_{(\text{satellite})i} - \bar{XCO2}_{(\text{satellite})})(XCO2_{(\text{TCCON})i} - \bar{XCO2}_{(\text{TCCON})i})}{\sum_{i=1}^n (XCO2_{(\text{satellite})i} - \bar{XCO2}_{(\text{satellite})})^2 \sum_{i=1}^n (XCO2_{(\text{TCCON})i} - \bar{XCO2}_{(\text{TCCON})i})^2} \quad \text{رابطه (۵)}$$

تغییرات عملکرد هریک، به منظور اصلاح آن، استفاده کرد. بررسی آماری انجام شده با نمودار تیلور در شکل ۴ ارائه شده است. در ترسیم نمودار تیلور سه الگوریتم، هریک از رنگ‌ها نشان‌دهنده یکی از الگوریتم‌های بازیابی است (الگوریتم NIES به رنگ قرمز، الگوریتم ACOS به رنگ آبی و الگوریتم SRFP به رنگ سبز) و شماره‌ها به سال داده‌های بازیابی شده اشاره دارند. با توجه به رنگ‌ها و شماره‌ها، می‌توان مقایسه‌ای کلی از رفتار هر الگوریتم داشت. در این نمودار، میزان ضربیب همبستگی با قوس روی محور راست و میزان انحراف معیار هر الگوریتم به نسبت مقادیر مشاهداتی روی محور چپ نمودار نشان داده شده است. در دیاگرام شکل ۳، خلاصه مراحل روش کار آمده است.

در این معادلات، پارامتر  $N$  نشان‌دهنده تعداد مشاهدات اندازه‌گیری،  $XCO2$  نشان‌دهنده مقدار غلظت دی‌اکسید کربن بازیابی شده با استفاده از الگوریتم مورد نظر از سنجنده گوست و پایگاه داده زمینی TCCON است.

در ادامه، از نمودار تیلور نیز برای مقایسه بهتر نتایج استفاده می‌کنیم. با استفاده از نمودار تیلور، می‌توان میزان تطابق محصولات تولید شده با هر الگوریتم را، با مقادیر مشاهدات متناظر با آن، ارائه کرد. ترسیم نمودار تیلور به کمک پارامترهای آماری ضربیب همبستگی و نسبت انحراف معیارها صورت می‌گیرد (Taylor, 2001). از این نمودار، می‌توان برای بررسی مهارت نسبی گروهی از الگوریتم‌های متفاوت در برابر یکدیگر و یا ردیابی

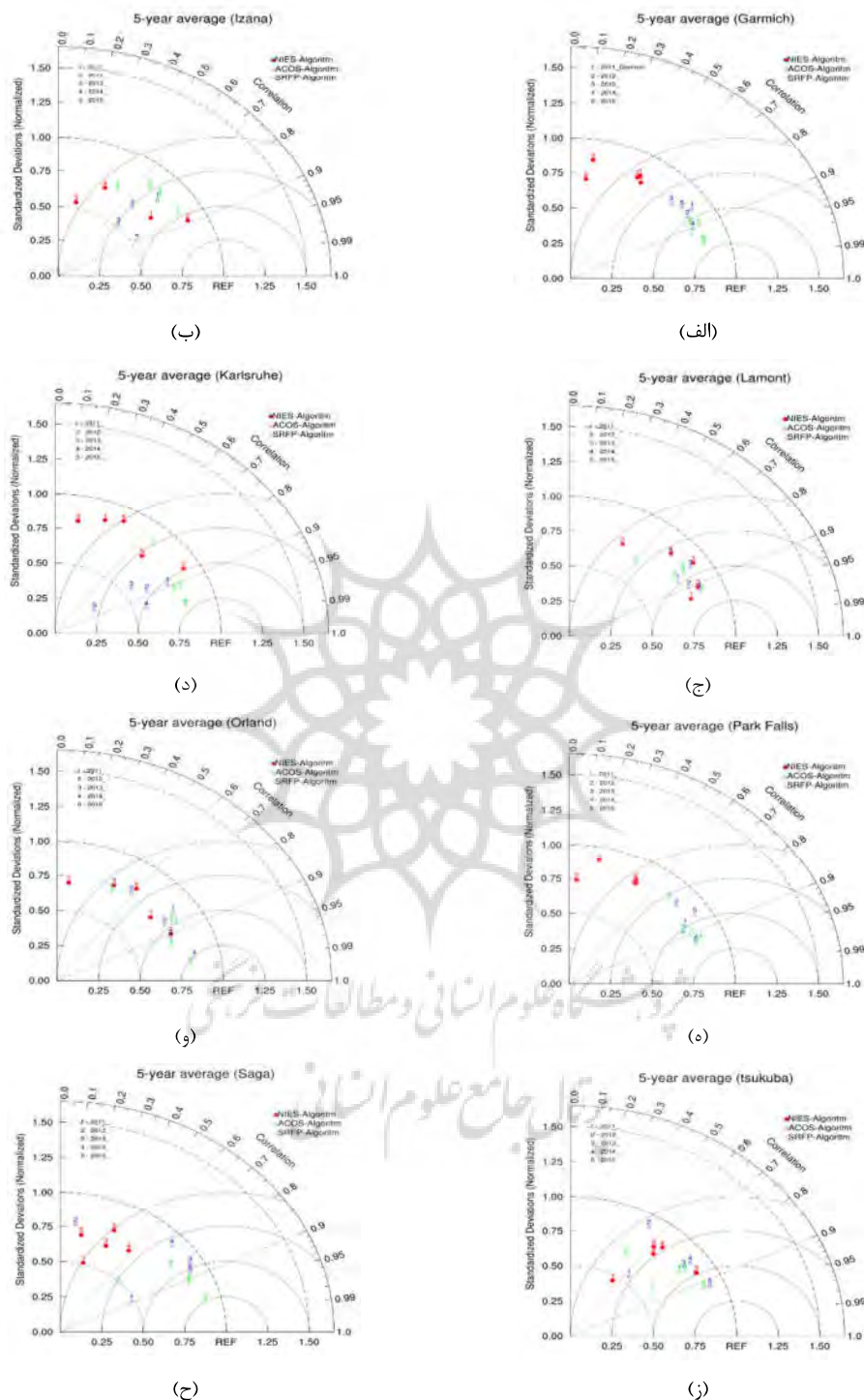


شکل ۳. دیاگرام روش کار

#### ۴- نتایج

متوسط، در تمامی ایستگاه‌ها  $85 \pm 0.85$  است. طبق محاسبه مقادیر ذکر شده برای الگوریتم ACOS، تغییرات ضریب همبستگی و انحراف معیار، به ترتیب،  $0.053 \pm 0.07$  و  $0.35 \pm 0.087$  است. کمترین مقادیر ضریب همبستگی به دست آمده در مورد الگوریتم SRFP محاسبه شده که مقادیر آن، بین  $0.15 \pm 0.20$ ، متغیر است. دامنه تغییرپذیری مقادیر انحراف معیار برای این الگوریتم نیز  $0.50 \pm 0.80$  است. بهطورکلی، با مقایسه الگوریتم‌ها می‌توان بیان کرد که الگوریتم NIES، در مقادیر ضریب همبستگی پیرسون، دارای نتایجی بهتر از دو الگوریتم دیگر است؛ به گونه‌ای که بیشترین مقادیر همبستگی متعلق به الگوریتم NIES است (البته به جز در ایستگاه‌های تسوکوبا و ایزانیا، که می‌توان از مقدار اختلاف آن با الگوریتم‌های دیگر چشم پوشی کرد). کمترین مقادیر ضریب همبستگی در همه ایستگاه‌ها، به جز ایستگاه تسوکوبا، به الگوریتم SRFP تعلق دارد.

۱-۴- ارزیابی آماری الگوریتم‌های بازیابی دی‌اکسید کربن، در مقایسه با داده‌های مشاهداتی TCCON با توجه به نمودار بهنجارشده تیلور در شکل ۴، که می‌تواند به خوبی مهارت‌های بازیابی هر الگوریتم را مشخص نماید، مشاهده می‌شود که کمترین مقادیر همبستگی مربوط به الگوریتم SRFP و بیشترین مقادیر همبستگی برای تمامی ایستگاه‌ها مربوط به الگوریتم NIES، در میانگینی پنج ساله ( $2011-2015$ )، است. همان‌طور که در شکل دیده می‌شود، هر دو الگوریتم NIES و ACOS، با اختلاف بسیار کمی، رفتارهای مشابهی در مقادیر ضریب همبستگی و مقادیر انحراف معیار دارند. مقادیر برآورده شده در میزان تغییرات ضریب همبستگی پیرسون، در الگوریتم NIES، به‌طور متوسط و طی سال‌های  $2011$  تا  $2015$ ، بین مقادیر  $0.60 \pm 0.92$  متغیر است. همچنین، تغییرات مقادیر محاسبه شده در پارامتر آماری انحراف استاندارد، به‌طور



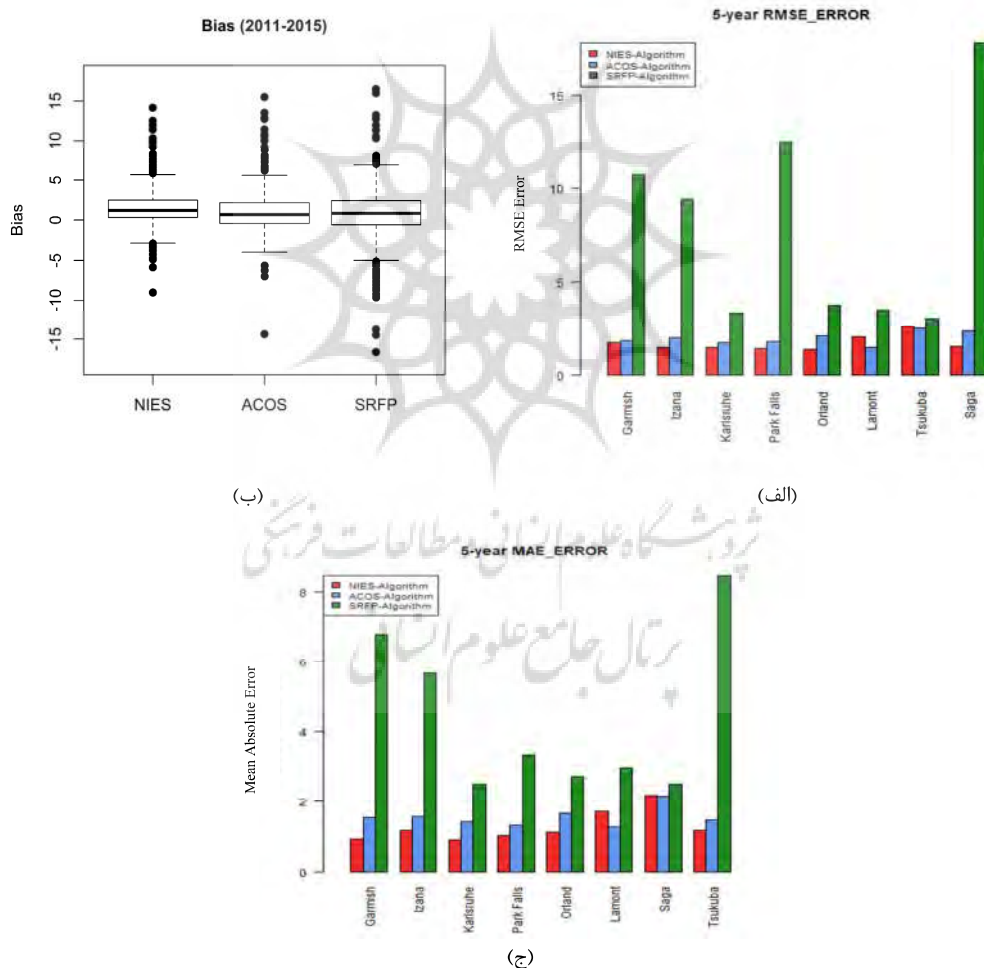
شکل ۴. نمودارهای بهنجارشده تیلور برای ارزیابی برآورد غلظت گاز دی اکسید کربن در ایستگاههای زمینی گارمیش (الف)، ایزانیا (ب)، لامونت (ج)، کارلسروهه (د)، پارک فالر (و)، اورلان (ز) و سگا (ه)

همان‌طور که در شکل مشاهده می‌شود، کمترین میزان خطای RMSE و MAE محاسبه شده برای NIES طبق مقایسه با مقدار معادل زمینی آن، بهترتب، در ۱.۳۵ ppm ایستگاه‌های اولان و کارلسروهه با مقدار ۰.۹۰ ppm و به دست آمده و بیشترین مقدار خطای RMSE و MAE برای این الگوریتم در ایستگاه سوکوبا، بهترتب، ۲.۶۰ ppm و ۲.۱۷ ppm حاصل شده است.

#### ۴-۲- مقایسه الگوریتم‌ها در میانگین پنج ساله، با

##### RMSE، Bias، MAE

استفاده از پارامترهای RMSE، Bias و شیوه عملکرد هر الگوریتم در هر ایستگاه، مقدار خطاهای RMSE، MAE و اربی به صورت میانگین پنج ساله در همه ایستگاه‌ها محاسبه شده است (شکل ۵). نتایج مقایسه مقدار خطای RMSE و MAE در هر ایستگاه، به صورت جداگانه، نشان می‌دهد که بالاترین مقدار خطاهای طی میانگینی شصتماهه به الگوریتم SRFP و کمترین مقدار خطای الگوریتم NIES بازمی‌گردد.



شکل ۵. مقادیر میانگین پنج ساله خطاهای RMSE (الف)، Bias (ب) و MAE (ج) در هر الگوریتم، برای برآورد غلظت گاز دی‌اکسید کربن، در مقابل مقادیر ایستگاه‌های زمینی

کمترین میزان خطای RMSE و MAE برای الگوریتم ACOS، به ترتیب، در ایستگاههای لامونت و پارک فالز با مقادیر ۱.۴۶ ppm و ۱.۲۶ ppm محاسبه شده است. بیشترین میزان خطای RMSE و MAE در الگوریتم ACOS، به ترتیب، در ایستگاه تسوکوبا با مقادیر ۲.۴۶ ppm و ۲.۱۵ ppm مشاهده شده که نتایج آن بسیار شبیه به الگوریتم NIES است. بیشترین میزان خطای RMSE و MAE در الگوریتم SRFP نیز در ایستگاه سگا با مقادیر، به ترتیب، ۱۷.۹ ppm و ۸.۴۷ ppm است و کمترین مقدار خطای RMSE و MAE برای این الگوریتم در ایستگاه تسوکوبا، به ترتیب، ۲.۹۹ ppm و ۲.۵۰ ppm به دست آمده است.

برای نمایش معیار تمرکز و پراکندگی مقادیر خطای اریبی هر الگوریتم به صورت همزمان، در مقایسه با مقادیر مشاهدات، از نمودار جعبه‌ای استفاده شده است (شکل ۵-ب). با نگاه کلی به نمودار جعبه‌ای و مقایسه الگوریتم‌ها، می‌توان دریافت که هر سه الگوریتم ACOS و SRFP در تمامی ایستگاه‌ها تقريباً مشابه یکدیگر رفتار می‌کنند و بدین ترتیب، هر سه دارای مقادیر فروبرد و فرابرد (اریبی منفی و مثبت) نزدیک به صفر هستند. مقایسه پراکندگی مقادیر اریبی، در هر الگوریتم، نشان می‌دهد تعداد مقادیر پراکنده در الگوریتم SRFP، به نسبت دو الگوریتم دیگر، بيشتر است. مقادیر میانه اریبی در الگوریتم ACOS، با فاصله بسيار اندکی، از دو الگوریتم NIES و SRFP کوچک‌تر است. ماکزیمم مقدار اریبی (مثبت و منفی) به الگوریتم SRFP متعلق است. دامنه تغییرات ۷۵٪ از مقادیر اریبی محاسبه شده در سه الگوریتم NIES، ACOS و SRFP، به ترتیب، برابر با (+۵)، (-۱۵)، (+۵) و (-۱۷) است. ماکزیمم مقادیر اریبی، به ترتیب، به الگوریتم ACOS، SRFP و NIES با مقادیر (+۱۷)، (-۱۷)، (+۱۵) و (-۱۱)، (+۹) متعلق است.

## ۵- نتیجه‌گیری

در این مقاله، تحلیلی مقایسه‌ای برای بازیابی غلظت گاز دی‌اکسید کربن ( $\text{CO}_2$ )، از سه الگوریتم جهانی NIES

- Crisp, D., Bosch, H., Brown, L., Castano, R., Christi, M., Connor, B., Frankenberg, C., McDuffie, J., Miller, C., Natraj, V., 2010. **OCO (Orbiting Carbon Observatory)-2 Level 2 Full Physics Retrieval Algorithm Theoretical Basis.** Internet: [http://disc.sci.gsfc.nasa.gov/acdisc/documentation/OCO-2\\_L2\\_FP\\_ATBD\\_v1\\_rev4\\_Nov10.Pdf](http://disc.sci.gsfc.nasa.gov/acdisc/documentation/OCO-2_L2_FP_ATBD_v1_rev4_Nov10.Pdf).
- Crisp, D., et al., 2012. **The ACOS XCO<sub>2</sub> Retrieval Algorithm, Part II: Global XCO<sub>2</sub> Data Characterization,** Atmos. Meas. Tech., 5, 1–60, [www.atmosmeastech-discuss.net/5/1/2012/](http://www.atmosmeastech-discuss.net/5/1/2012/) doi:10.5194/amtd-5-1-2012.
- Hase, F., Blumenstock, T., Dohe, S., Groß, J., Kiel, M., 2014. **Karlsruhe010.11 TCCON Data From Karlsruhe, Germany, Release GGG2014R1.** TCCON Data Archive, Hosted By The Carbon Dioxide Information Analysis Center, Oak Ridge National Laboratory, Oak Ridge, Tennessee, U.S.A. DOI: 10.14291/tcccon.ggg2014.karlsruhe01.R1/1182416
- Kuze, A., Suto, H., Nakajima, M., Hamazaki, T., 2009. **Thermal And Near Infrared Sensor For Carbon Observation Fourier-Transform Spectrometer On The Greenhouse Gases Observing Satellite For Greenhouse Gases Monitoring** Appl. Optics, 48, 6716–6733, doi:10.1364/AO.48.006716.
- Morino, I., Matsuzaki, T., Shishime, A., 2014. **Tsukuba020.03 TCCON Data From Tsukuba, Ibaraki, Japan, 125HR, Release GGG2014R0.** TCCON Data Archive, Hosted By The Carbon Dioxide Information Analysis Center, Oak Ridge National Laboratory, Oak Ridge, Tennessee, U.S.A. DOI: 10.14291/tcccon.ggg2014.tsukuba02.R0/ 1149301

هر هشت ایستگاه، طی میانگین پنج سال، می‌توان بیان کرد که الگوریتم NIES بهترین عملکرد را در ایستگاه‌های کارلسروهه و اورلئان، الگوریتم ACOS بهترین عملکرد را در ایستگاه‌های لامونت و الگوریتم SRFP بهترین عملکرد را در ایستگاه تسوکوبا داشته‌اند.

## ۶- سپاسگزاری

این تحقیق، با حمایت مالی بنیاد ملی علوم ایران (INSF)، تهران، ایران (شماره کمک هزینه: ۹۸۰۱۲۷۵۲) انجام شده است

## ۷- منابع

- Butz, A., Hasekamp, O.P., Frankenberg, C., Aben, I., 2009. **Retrievals Of Atmospheric CO<sub>2</sub> From Simulated Space-Borne Measurements Of Backscattered Near-Infrared Sunlight: Accounting For Aerosol Effects,** Appl. Optics, 48: 3322–3336, doi:10.1364/AO.48.003322.
- Butz, A., Hasekamp, O., Frankenberg, C., Vidot, J., Aben, I., 2010. **CH<sub>4</sub> Retrievals From Space Based Solar Backscatter Measurements: Performance Evaluation Against Simulated Aerosol And Cirrus Loaded Scenes.** Journal of Geophysical Research: Atmospheres (1984–2012), 115.
- Cogan, A. J., Boesch, H., Parker, R. J., Feng, L., Palmer, P. I., Blavier, J.-F. L., Deutscher, N. M., Macatangay, R., Notholt, J., Roehl, C., Warneke, T. and Wunch, D., 2012. **Atmospheric Carbon Dioxide Retrieved From The Greenhouse Gases Observing SATellite (GOSAT): Comparison With Ground-Based TCCON Observations And GEOS-Chem Model Calculations,** journal of geophysical research117: D21301.

- O'Dell, C., Connor, B., Bösch, H., Frankenberg, C., Castano, R., Christi, M., Eldering, D., Fisher, B. and Gunson, M., 2012 **The ACOS CO<sub>2</sub> Retrieval Algorithm-Part 1: Description And Validation Against Synthetic Observations**, Atmospheric Measurement Techniques, 5: 99-121.
- Oshchepkov, S., et al. 2012, **Effects Of Atmospheric Light Scattering On Spectroscopic Observations Of Greenhouse Gases From Space. Part 1: Validation Of PPDF-Based CO<sub>2</sub> Retrievals From GOSAT**, J. Geophys. Res 117: D12305.
- Parker, R., et al. 2011, **Methane Observations From The Greenhouse Gases Observing SATellite: Comparison To Ground-Based TCCON Data And Model Calculations**, Geophys. Res. Lett 38: L15807. doi:10.1029/2011GL047871.
- Shiomi, K., Kawakami, S., Ohyama, H., Arai, K., Okumura, H., Taura, C., **saga010.01 T. Fukamachi, M. Sakashita. 2014. TCCON data From Saga, Japan, Release GGG2014R0. TCCON Data Archive, Hosted By The Carbon Dioxide Information Analysis Center, Oak Ridge National Laboratory, Oak Ridge, Tennessee, U.S.A. DOI: 10.14291/tcccon.ggg2014. saga01. R0/1149283**
- Sussmann, R., Rettinger, M., 2014. **garmisch01 0.75 TCCON Data from Garmisch, Germany, Release GGG2014R0. TCCON Data Archive, Hosted By The Carbon Dioxide Information Analysis Center, Oak Ridge National Laboratory, Oak Ridge, Tennessee, U.S.A. DOI: 10.14291/tcccon.ggg2014.garmisch01. R0/ 1149299**
- Taylor, K.E, 2001, **Summarizing Multiple Aspects Of Model Performance In A Single Diagram**. J. Geophys. Res.,106: 7183-7192, (also see PCMDI Report 55, <http://wwwpcmdi.llnl.gov/publications/a/b55.html>)
- Washenfelder, R. A., Toon, G. C., Blavier, J. F. L., Yang, Z., Allen, N. T., Wennberg, P. O., Vay, S. A., Matross, D. M. and Daube, B. C, 2006. **Carbon Dioxide Column Abundances At The Wisconsin Tall Tower Site**, J. Geophys. Res 111(D22): 1-11.
- Wunch, D., Toon, G. C., Wennberg, P. O., Wofsy, S. C., Stephens, B. B., Fischer, M. L., Uchino, O. and et al, 2010a, **Calibration of the Total Carbon Column Observing Network Using Aircraft Profile Data**, Atmos. Meas. Tech 3: 1351–1362.
- Yoshida, Y., Ota, Y., Eguchi, N., Kikuchi, N., Nobuta, K., Tran, H., Morino, I. and Yokota, T., 2011, **Retrieval algorithm for CO<sub>2</sub> and CH<sub>4</sub> Column Abundances From Short-Wavelength**, Atmos. Meas. Tech., 4 : 717–734.
- Wennberg, P. O., Wunch, D., Roehl, C., Blavier, J.F., Toon, G.C., Allen, N., **lamont010.32 P. Dowell, K. Teske, C. Martin, J. Martin. 2014. TCCON Data From Lamont, Oklahoma, USA, Release GGG2014R0. TCCON Data Archive, Hosted By The Carbon Dioxide Information Analysis Center, Oak Ridge National Laboratory, Oak Ridge, Tennessee, U.S.A. DOI: 10.14291/tcccon.ggg2014.lamont01. R0/1149159**
- Wennberg, P.O., Roehl, C., Wunch, D., Toon, G. C., Blavier, J.F., **parkfalls010.44 R. Washenfelder, G. Keppel-Aleks, N. Allen, J. Ayers. 2014. TCCON Data From Park Falls, Wisconsin, USA, Release GGG2014R0. TCCON Data Archive, Hosted By The Carbon Dioxide**

**Information Analysis Center, Oak Ridge**

**National Laboratory, Oak Ridge,**

**Tennessee, U.S.A. DOI: 10.14291/tccn.**

ggg2014. parkfalls01. R0/1149161

Blumenstock, T., Hase, F., Schneider, M.,  
García, O.E., Sepulveda, E., 2014.  
**izana01 2.37 TCCON Data From Izana,**  
**Tenerife, Spain, Release GGG2014R0.**  
**TCCON Data Archive, Hosted By The**  
**Carbon Dioxide Information Analysis**  
**Center, Oak Ridge National Laboratory,**  
**Oak Ridge, Tennessee, U.S.A. DOI:**  
10.14291/tccn.ggg2014.izana01.R0/  
1149295

Warneke, T., Messerschmidt, J., Notholt, J.,  
Weinzierl, C., Deutscher, N., Petri, C.,  
**Orleans010.13 P. Grupe, C. Vuillemin,**  
**F. Truong, M. Schmidt, M. Ramonet, E.**  
**Parmentier. 2014. TCCON Data From**  
**Orleans, France, Release GGG2014R0.**  
**TCCON Data Archive, Hosted By The**  
**Carbon Dioxide Information Analysis**  
**Center, Oak Ridge National**  
**Laboratory, Oak Ridge, Tennessee,**  
**U.S.A. DOI: 10.14291/tccn. ggg2014.**  
orleans01. R0/1149276

پژوهشکاه علوم انسانی و مطالعات فرهنگی  
پرستال جامع علوم انسانی



، ایران GIS

سنجش از دور

سال دوازدهم، شماره سوم، پاییز ۱۳۹۹  
Vol.12, No. 3, Autumn 2020

Iranian Remote Sensing & GIS

23-36



## Evaluation of CO<sub>2</sub> Greenhouse Gas Estimation Algorithms Based on GOSAT Satellite Data and Ground-based Observation Stations

Karbasi S.<sup>1</sup>, Malakooti H.<sup>2\*</sup>, Rahnama M.<sup>3</sup>, Azadi M.<sup>4</sup>

1. Ph.D. of Meteorology Student, School of Marine Science and Technology, Hormozgan university
2. Prof. of Dep. of Atmospheric Biological Sciences, Faculty of Marine Science and Technology, Hormozgan University
3. Prof. of Dep. of Remote Sensing, Tehran Meteorological Institute
4. Prof. of Dep. of Dynamic Meteorology, Tehran Meteorological Institute

### Abstract

Increasing greenhouse gas concentrations, as a result of global warming and climate change, are recognized as one of the most important challenges of the 21st century. In this report, we compare data products from three different algorithms with the reference data obtained by groundbased high-resolution Fourier Transform Spectrometers (g-b FTSS) in the Total Carbon Column Observing Network (TCCON), with the 8 selected sites in five years(2011-2015). The algorithms evaluated are NIES, ACOS and SRFP algorithms. These algorithms are focused on retrieving the column abundance of the CO<sub>2</sub> to take advantage of the molecular amounts of dry air carbon dioxide (XCO<sub>2</sub>). To evaluate the products of each algorithm with its equivalent ground observations, statistical indices such as Bias error, root mean square error (RMSE), absolute error (MAE), standard deviation (SD), and Pearson correlation coefficient (CR) were used. By examining the values presented by each algorithm and comparing it with the ground observation values, it can be concluded that the NIES, ACOS, and RemoTeC (SRFP) algorithms have the lowest RMSE, Bias and MAE error respectively. The best agreements with TCCON measurements in the most stations were detected for NIES 02.xx. The SRFP algorithm has a significant difference in estimating CO<sub>2</sub> retrieving rates compared to the other two algorithms. So that the lowest correlation values belong to the SRFP algorithm and the highest correlation, values belong to the NIES algorithm.

**Keywords:** GOSAT Satellite, Carbon Dioxide (CO<sub>2</sub>), Greenhouse Gas, Retrieving Algorithm.

\* Correspondence Address: Faculty of Marine Science and Technology, No. 3995 , University of Hormozgan, Five Km from Minab Road, Bandar Abbas, Hormozgan, Postal Code: 7916193145. Tel: (+98 76) 33711000-11  
Email: malakooti@hormozgan.ac.ir